

ZÁPADOČESKÁ UNIVERZITA V PLZNI

LINEÁRNÍ SYSTÉMY 2

KKY/LS2

---

## Semestrální práce

---

*Autoři:*

Josef ŠVEC

Marek LOVČÍ

21. dubna 2018



# Obsah

<b>1</b>	<b>Zadání</b>	<b>2</b>
<b>2</b>	<b>Řešení</b>	<b>4</b>
2.1	Použití regresního modelu . . . . .	4
2.1.1	Další diskretizované modely . . . . .	5
2.1.2	Porovnání charakteristik . . . . .	6
2.2	Polohový servosystém . . . . .	8
2.2.1	Výpočet ustálené hodnoty . . . . .	8
2.2.2	Korekční členek 1. řádu . . . . .	9
2.2.3	Citlivostní funkce . . . . .	10
2.3	Návrh PID regulátoru . . . . .	11
2.3.1	Metoda GMK . . . . .	11
2.3.2	Q-parametrizace . . . . .	13
2.4	Návrh 2DoF regulátoru . . . . .	14
2.4.1	Volba kompenzačního polynomu $t(p) = p + 0.2$ . . . . .	14
2.4.2	Volba kompenzačního polynomu $t(p) = p + 2$ . . . . .	15
2.5	Stavový regulátor minimalizující kritérium ITAE . . . . .	16

# 1 Zadání

1. Ilustrujte použití regresního modelu a metody nejmenších čtverců pro identifikaci parametrů přenosu spojitého systému s využitím simulovaných dat.

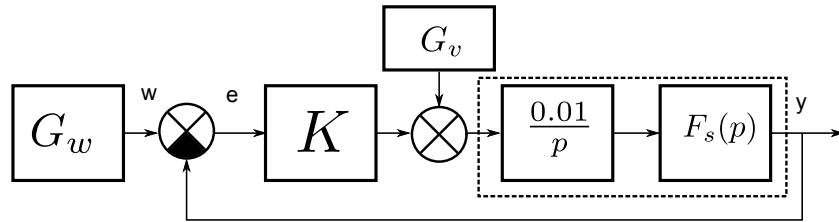
Je dán spojitý přenos systému:  $F_s(p) = \frac{K\omega_n^2}{p^2 + 2\xi\omega_n p + \omega_n^2}$ ,  $K = 1$ ,  $\xi = 0.15$ ,  $\omega_n = 1$ .

Zvolte periodu vzorkování  $T = 0.2s$  a vypočítejte ekvivalentní diskrétní model s tvarovačem nultého řádu:  $F_s(z) = \frac{b_1 z + b_0}{z^2 + a_1 z + a_0}$ .

- (a) Použijte diskrétní přenos jako simulační model pro Gray-box identifikaci (známá struktura systému, neznámé parametry). Zvolte vhodný budící signál a proveďte identifikační experiment. Z naměřeného souboru vzorků vstupu a výstupu určete hledané parametry diskrétního přenosu metodou nejmenších čtverců. Uvažujte dva případy: 1) výstup nezatížený šumem, 2) výstup zatížený šumem.
- (b) Z identifikovaného  $F_s(z)$  určete spojitý přenos  $F_s(p)$  a porovnejte jeho přechodovou charakteristiku s přechodovou charakteristikou zadaného spojitého systému. Diskutujte možnost zanedbání nuly ve spojitém přenosu.
- (c) K získanému  $F_s(p)$  vypočítejte při stejné periodě vzorkování jeho diskretizované modely:
  - i. s použitím tvarovače 0. řádu,
  - ii. s dopřednou obdélníkovou aproximací,
  - iii. lichoběžníkovou aproximací,
  - iv. exaktním převodem nul a pólů.

Porovnejte výsledky s výstupy makra `c2d` v MATLABu. Srovnajte impulzní a přechodové charakteristiky spojitého a čtyř diskretizovaných modelů (vždy v jednom grafu). Srovnajte rozmístění nul a pólů diskrétních modelů (opět v jednom grafu).

2. Uvažujte polohový servosystém dle následujícího schématu:



- (a) Předpokládejte nejprve použití proporcionálního regulátoru se zesílením  $K$ . Určete kritické zesílení  $K_{krit}$  a ověřte simulací netlumené kmitání uzavřené smyčky.
- (b) Vypočítejte ustálenou hodnotu výstupu  $\lim_{t \rightarrow \infty} y(t)$  při působení skokové poruchy  $v(t) = 1[t]$  na vstupu pro obecnou hodnotu zesílení  $K$ .
- (c) Nastavte zesílení  $K$  na 90 procent kritické hodnoty  $K_{krit}$  a určete bezpečnost v zesílení a ve fázi. Zakreslete Bodeho charakteristiky otevřené smyčky a přechodovou charakteristiku uzavřené smyčky.

- (d) Uvažujte fixovanou hodnotu zesílení kvůli požadavku na kompenzaci poruchy. Navrhněte korekční členek 1. řádu pro vylepšení bezpečnosti v zesílení a ve fázi a omezení kmitavosti uzavřené smyčky. Zakreslete opět Bodeho charakteristiky otevřené smyčky a přechodovou charakteristiku uzavřené smyčky, porovnejte výsledky s předchozím bodem zadání.
- (e) Zakreslete průběh citlivostní funkce  $|S(j\omega)|$  před korekcí a po korekci a diskutujte vliv korekčního članku na potlačení amplitudy harmonických poruch v regulačním obvodu.
3. K systému s přenosem  $F_s(p)$  (bez integrátoru) navrhněte PID regulátor splňující požadavky v časové oblasti při skokové změně požadované hodnoty.
- Maximální relativní přeregulování  $\sigma_{max} \leq 10 \%$
  - Doba regulace  $T_{reg} \leq 5 \text{ s}$ .
- Pro návrh použijte a) metodu GMK, b) metodu Q-parametrizace stabilizujících regulátorů. Ověřte simulací splnění návrhových požadavků.
4. Uvažujte regulační obvod se dvěma stupni volnosti a k systému s přenosem  $F_s(p)$  navrhněte 2DoF regulátor tak, aby přenos uzavřeného regulačního obvodu měl požadovaný tvar

$$T(p) = \frac{Y(p)}{W(p)} = \frac{2.44}{p^2 + 2.4p + 2.44}$$

- při volbě kompenzačního polynomu a)  $t(p) = p + 0.2$ , b)  $t(p) = p + 2$ . Porovnejte přechodové charakteristiky a citlivostní funkce obou variant.
5. K systému s přenosem  $F_s(p)$  navrhněte stavový regulátor *minimalizující kritérium ITAE*. Navrhněte dvě varianty kompenzace statického zesílení dopřednou vazbou a zpětnovazební variantou s integrátorem. Zakreslete odezvu na referenční signál ve tvaru po částech konstantní funkce.
6. K diskretizovanému modelu  $F_s(z)$  navrhněte *diskrétní dynamický regulátor ve smyslu konečného počtu kroků regulace* pro sledování referenčního signálu  $w(t) = \sin(t)$ . Ověřte simulačně chování regulační smyčky.
7. K polohovému servosystému z př. 2 ( $F_s(p)$  + integrační člen) navrhněte diskrétní dynamický regulátor s minimálním počtem kroků (silná verze) pro periodu vzorkování  $T = 0.1 \text{ s}$ . Zakreslete přechodovou charakteristiku a průběh řízení.
8. Ke spojitému systému s přenosem  $F_s(p)$  navrhněte úplný rekonstruktor stavu se zvoleným umístěním pólů. Funkci rekonstruktoru ověřte simulačně při vhodně zvolených nenulových počátečních podmínkách systému a rekonstruktoru (volte opačnou polaritu).
9. Ověřte chování uzavřené smyčky při řízení dynamickým kompenzátozem (stavový regulátor + rekonstruovaný stav). Srovnajte s výsledky dosaženými v úkolu 5.

## 2 Řešení

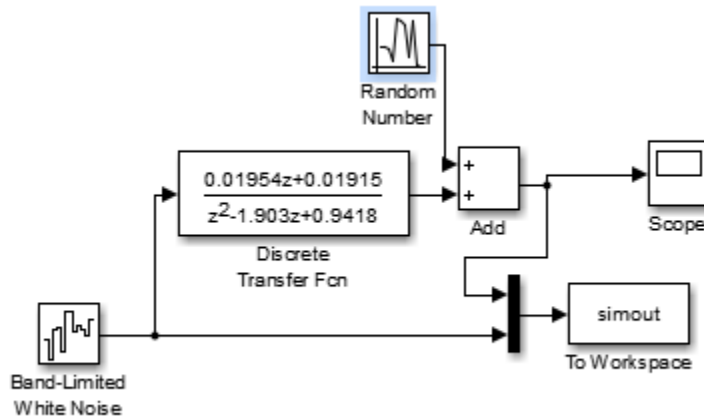
### 2.1 Použití regresního modelu

Po dosazení zadaných hodnot do spojitého přenosu systému  $F_s(p)$  jsme z MATLABu dostali následující spojitý přenos.

$$F_s(p) = \frac{1}{1p^2 + 0.3p + 1}$$

Po diskretizaci a použití tvarovače nultého řádu s periodou vzorkování  $T = 0.2\text{ s}$  jsme získali diskrétní přenos  $F_s(z)$ .

$$F_s(z) = \frac{0.01954z + 0.01915}{z^2 - 1.903z + 0.9418}$$



Obrázek 1: Model systému použitý pro výpočet lineární regrese

V Simulinku jsme následně vytvořili model uvedený výše. Je důležité správně nastavit periodu vzorkování u vstupního signálu. Pro identifikaci jsme použili odezvu na bílý šum, protože tím získáme nejvíce informací o daném systému. Hodnoty vstupu a výstupu jsme ukládali do proměnné *simout* a poté jsme provedli zpětnou identifikaci systému. Využili jsme následující vztah.

$$y_m = \Phi \cdot \Theta + \epsilon$$

Kde  $y_m$  ... vektor měření,  $\Phi$  ... matice regresorů,  $\Theta$  ... vektor parametrů a  $\epsilon$  ... vektor chyb.

Díky většímu počtu měření můžeme identifikaci neznámých parametrů  $\Theta$  převést na optimalizační úlohu určení optimálního vektoru  $\Theta^*$  tak, aby bylo minimalizováno kritérium ve tvaru součtu chyb měření.

$$J(\Theta) = \epsilon^T(\Theta)\epsilon(\Theta)$$

Bez šumu na výstupu jsme získali matici

$$\Theta^* = \begin{bmatrix} -1.9030 \\ 0.9418 \\ 0.0195 \\ 0.0192 \end{bmatrix}$$

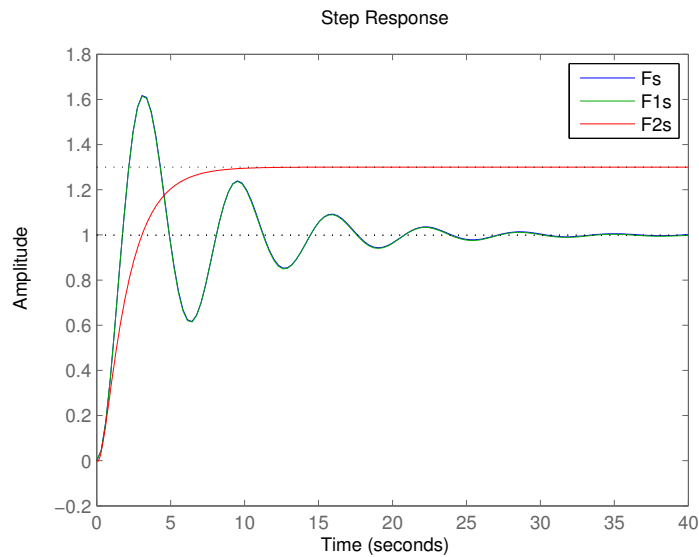
Po dosazení do diskrétního předpisu:  $F_{1s}(z) = \frac{0.0195z + 0.0192}{z^2 - 1.9030z + 0.9418}$ . Je dobře patrné, že koeficienty jsou téměř totožné se zadaným diskrétním přenosem. Určíme ještě spojitý přenos  $F_{1s}(p)$ .

$$F_{1s}(p) = \frac{-0.0002262p + 1}{p^2 + 0.2998p + 1.003}$$

Po identifikaci systému zatíženého šumem jsme dostali matici

$$\Theta^* = \begin{bmatrix} -1.5252 \\ 0.5655 \\ 0.0129 \\ 0.0395 \end{bmatrix}$$

Diskrétní přenos potom vypadá takto,  $F_{2s}(z) = \frac{0.0129z + 0.0395}{z^2 - 1.5252z + 0.5655}$ . Určením spojitého přenosu získáme  $F_{2s}(p) = \frac{-0.1044p + 1.726}{p^2 + 2.85p + 1.328}$



Obrázek 2: Porovnání přechodových charakteristik

Ze simulace je vidět, že při identifikaci bez šumu se výsledek téměř shoduje s původním systémem, po přidání šumu už systém nebyl identifikován správně a přechodová charakteristika se liší.

Koeficient u nuly v čitateli přenosu bez šumu je velice malý, tudíž tuto nulu můžeme zanedbat.

### 2.1.1 Další diskretizované modely

Po použití makra `c2d` v MATLABu jsme schopni zjistit diskrétní přenosové funkce pro téměř všechny zadáním vyžadované metody. Jedinou metodu kterou jsme takto snadno nemohli zjistit je tzv. "obděl-

níková metoda". Tu jsme museli zjistit za použití syms toolboxu, nahrazením  $s$  ve spojitém systému za  $(z-1)/T$ . Po zapsání ve formě tf function jsme dostali požadovaný přenos.

1. Tvarovač nultého řádu

$$F_s(z) = \frac{0.01954z + 0.01915}{z^2 - 1.903z + 0.9418}$$

2. Obdélníková metoda

$$F_s(z) = \frac{2}{50z^2 - 97z + 49}$$

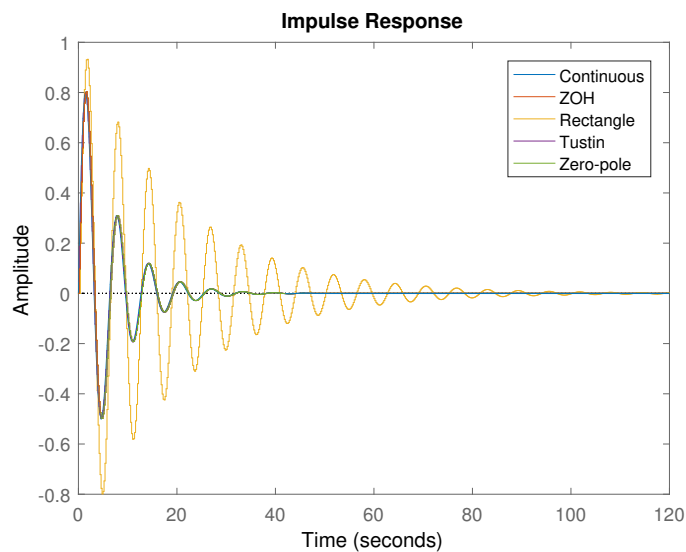
3. Lichoběžníková metoda

$$F_s(z) = \frac{0.009615z^2 + 0.01923z + 0.009615}{z^2 - 1.904z + 0.9423}$$

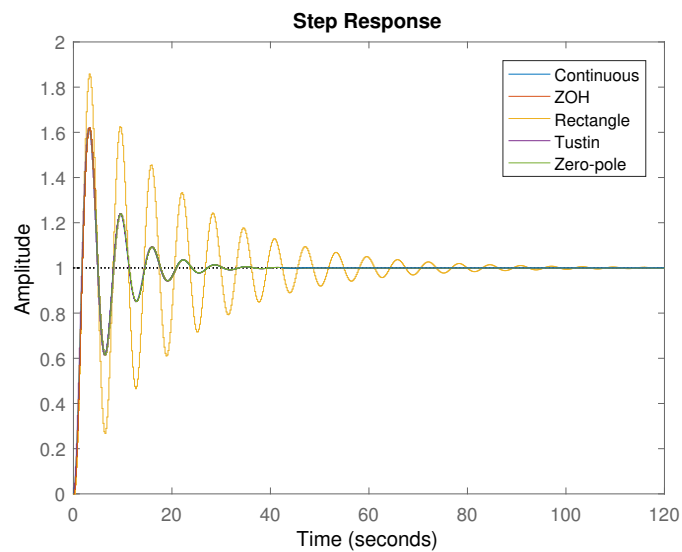
4. Exaktní převod nul a pólů

$$F_s(z) = \frac{0.01935z + 0.01935}{z^2 - 1.903z + 0.9418}$$

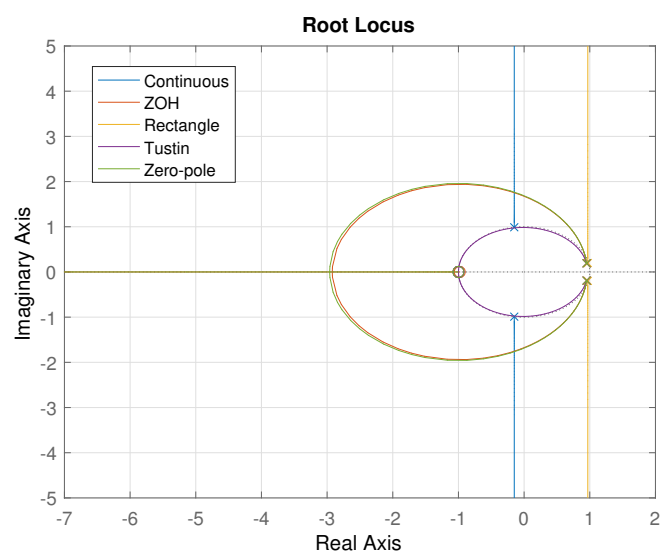
### 2.1.2 Porovnání charakteristik



Obrázek 3: Odezva spojitého a diskretních systémů na impuls



Obrázek 4: Odezva spojitého a diskrétních systémů na jednotkový skok



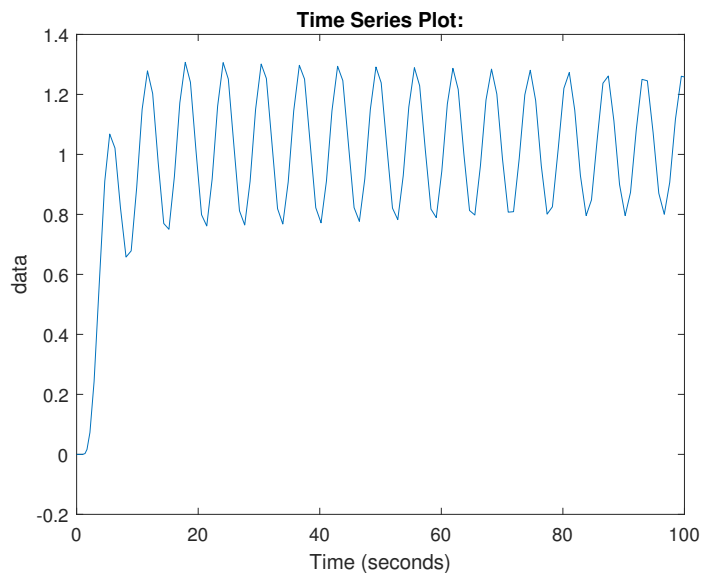
Obrázek 5: Rozmístění nul a pólů spojitého a diskrétních systémů

Póly všech systémů se téměř shodují. Drobné rozdíly jsou vidět u obdélníkové a lichoběžníkové metody (Tustin).



## 2.2 Polohový servosystém

Vynásobením přenosu systému  $F_s(p)$  a zadaného integrátoru  $0.01/p$  získáme souhrnný přenos. Po použití příkazu `margin` jsme po přepočtu získali kritické zesílení  $K_{krit} = 29.8538$ .

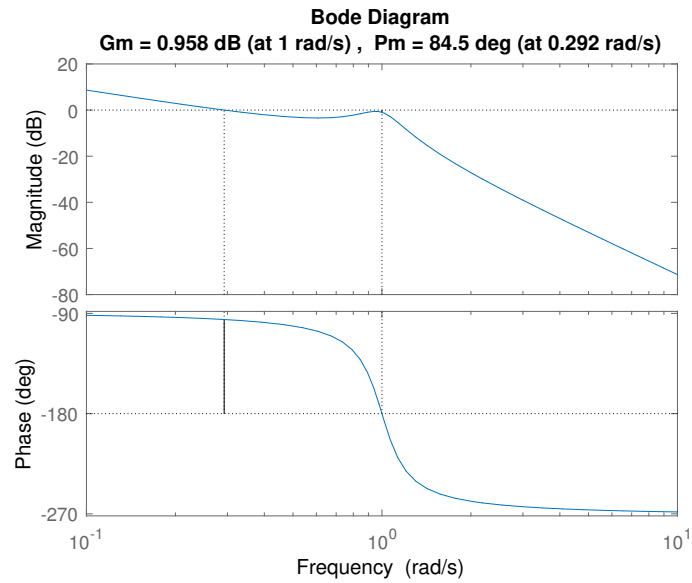


Obrázek 6: Netlumené kmitání uzavřené smyčky při kritickém zesílení

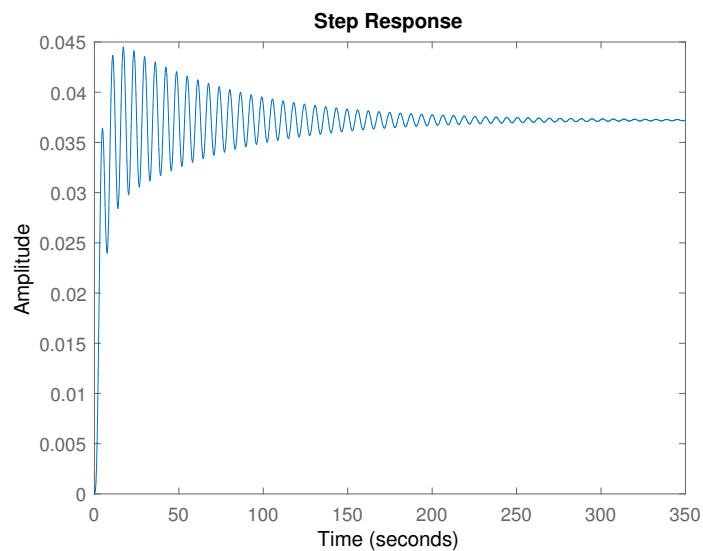
### 2.2.1 Výpočet ustálené hodnoty

Pro výpočet ustálené hodnoty výstupu si musíme uvědomit, že  $\lim_{t \rightarrow \infty} y(t) = \lim_{p \rightarrow 0} p \cdot Y(p)$ . Použitím MATLABu jsme získali ustálenou hodnotu výstupu  $\frac{1}{K}$ .

Z následujícího grafu jsme vyčetli bezpečnost v zesílení. Po přepočtu zjišťujeme, že bezpečnost v zesílení je velmi malá (1.1166). Není se čemu divit, neboť jsme na 90 % kritické hodnoty. Bezpečnost ve fázi vychází 84.5 stupně, což je hodnota vcelku přijatelná.



Obrázek 7: Bodeho charakteristika otevřené smyčky

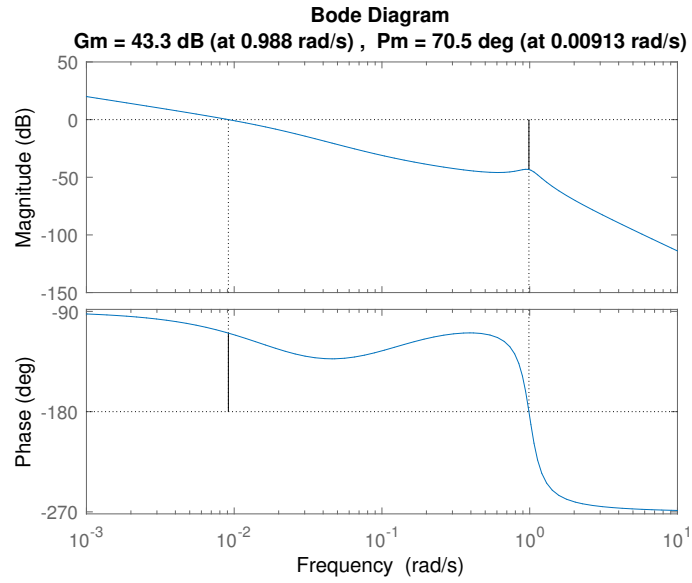


Obrázek 8: Přechodová charakteristika uzavřené smyčky

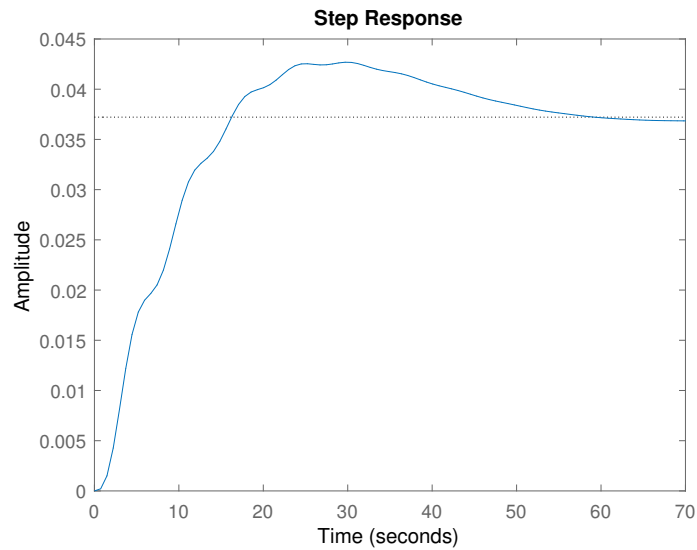
### 2.2.2 Korekční článek 1. řádu

Pro zlepšení bezpečnosti v zesílení zavedeme do systému korekční článek 1. řádu. V našem případě použijeme integrační článek.

$$F_I(p) = \frac{10p + 1}{50p + 1}$$



Obrázek 9: Bodeho charakteristika otevřené smyčky

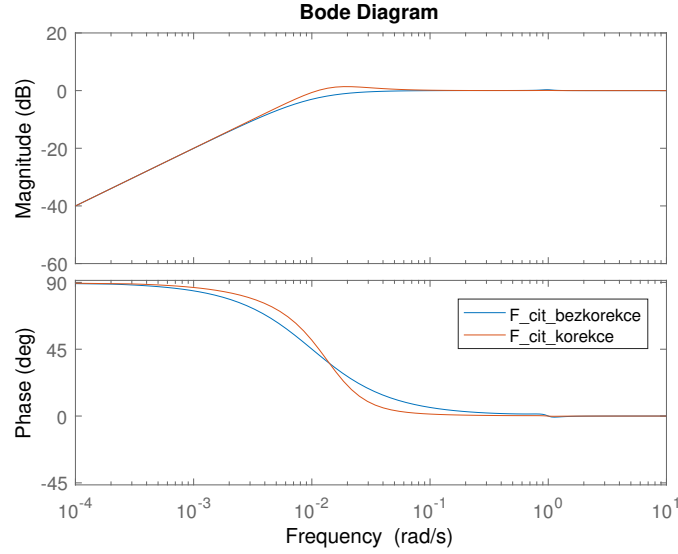


Obrázek 10: Přechodová charakteristika uzavřené smyčky

U přechodové charakteristiky se omezila kmitavost a zvýšila se bezpečnost v zesílení.

### 2.2.3 Citlivostní funkce

Přenos citlivostní funkce je  $S(j\omega) = \frac{1}{1 + F_0}$ . Porovnali jsme citlivostní funkce před a po použití korekčního článku. Z grafu je vidět, že korekční článek lehce potlačil amplitudu harmonických poruch.



Obrázek 11: Bodeho charakteristiky citlivostní funkce před a po korekci

## 2.3 Návrh PID regulátoru

Na regulátor jsou kladeny následující požadavky:

- Maximální relativní přeregulování  $\sigma_{max} \leq 10 \%$
- Doba regulace  $T_{reg} \leq 5 \text{ s}$ .

Pro návrh použijte a) metodu GMK, b) metodu Q-parametrizace stabilizujících regulátorů. Ověřte simulací splnění návrhových požadavků.

### 2.3.1 Metoda GMK

Jelikož zadaný systém je druhého řádu, je možné požadované umístění pólů regulátoru spočítat. Využijeme následující vzorce.

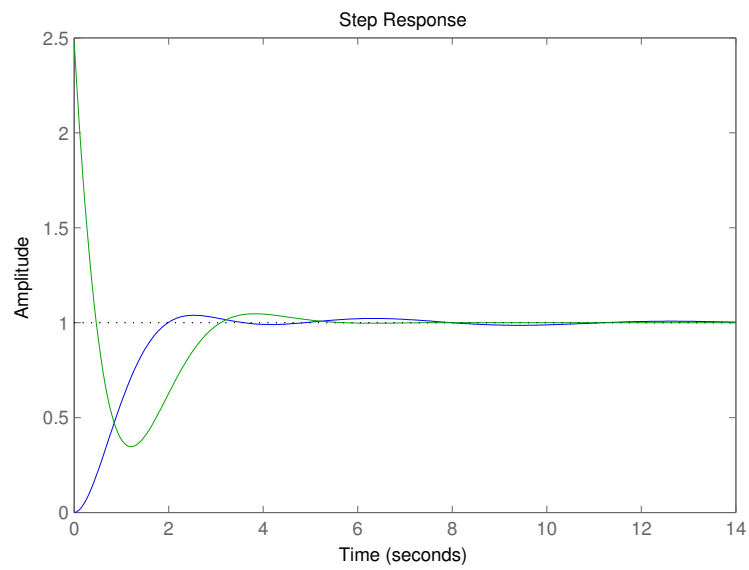
$$\xi^* \geq \left| \frac{\frac{\ln \sigma_{max}}{\pi}}{\sqrt{1 + \left( \frac{\ln \sigma_{max}}{\pi} \right)^2}} \right| = 0.5911 \Rightarrow \xi^* \cong 0.5911$$

$$\omega_n^* \cong \frac{4.6}{\xi^* T_{reg, 1\%}} = 1.556 \text{ rad s}^{-1}$$

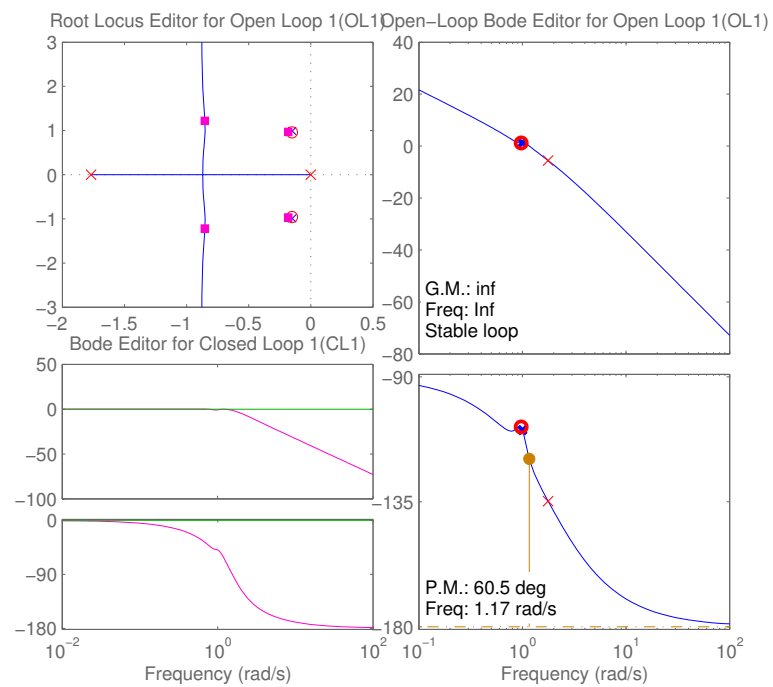
Požadovaný přenos by vypadal následovně.

$$F_s^*(p) = \frac{\omega_n^{*2}}{p^2 + 2\xi^*\omega_n^*p + \omega_n^{*2}} = \frac{2.4211}{p^2 + 1.8395p + 2.4211}$$

Z tohoto přenosu vypočteme póly  $p_{1,2}^* = -0.9198 \pm 1.2551i$ . Požadujeme, aby zadaný uzavřený systém vykazoval podobné chování (doba regulace a překmit). To znamená, že dominantní sdružené póly musí být ve stejném místě, jako jsou póly právě vypočtené.



Obrázek 12: Přechodové charakteristiky



Obrázek 13: GMK a jiné charakteristiky

Navrhli jsme PID regulátor, který má obecně přenos  $K_p + \frac{K_i}{s} + K_d \cdot s$ . Takový PID regulátor je fyzikálně nerealizovatelný, protože má relativní řád  $-1$ . Proto musíme derivační složku takového regulátoru vydělit výrazem  $\tau \cdot s + 1$ . Výsledný přenos má tedy následující tvar.

$$K_p + \frac{K_i}{s} + \frac{K_d \cdot s}{\tau \cdot s + 1} = \frac{K_p \tau s^2 + K_i \tau s + K_p s + K_i + K_d s^2}{s(\tau s + 1)}$$

Porovnáním koeficientů z nástroje *sisotool* v MATLABu jsme získali hodnoty  $\tau = 0.55$ ,  $K_i = 0.3$ ,  $K_p = -0.3$  a  $K_d = 1.46$ .

### 2.3.2 Q-parametrizace

Principem této metody je takový, že k řízenému systému navrhujeme množinu zpětnovazebních stabilizujících regulátorů  $F_R(p)$ . Taková množina je dána vztahem  $F_R(p) = \frac{Q(p)}{F_S(1 - Q(p))}$ . Parametrem je

$Q(p) = \frac{\beta_0}{\alpha_2 p^2 + \alpha_1 p + 1}$ . Přenos  $F_S$  je přenos nám zadaného systému s dosazenými konstantami.

Hodnota  $\beta_0$  je v našem případě rovna jedné. Hodnoty  $\alpha_1$  a  $\alpha_2$  jsou také známy:

$$\alpha_1 = 2\xi^* \omega_n^* \alpha_2 \text{ a } \alpha_2 = \frac{1}{\omega_n^{2*}}.$$

Přenos PID regulátoru s filtrovanou (aproximativní) derivací (viz skripta strana 38) je  $F_{PID}(p) = K_P + \frac{K_I}{p} + \frac{K_D p}{\tau p + 1}$ . Právě uvedený vztah se dá přepsat do lehce jiné formy.

$$F_{PID}(p) = \frac{(K_D + K_P \tau)p^2 + (K_P + K_I \tau)p + K_I}{p(\tau p + 1)}$$

Dosadíme-li do vztahu pro regulátor  $F_R(p)$ , získáme rovnici  $F_R(p) = \frac{p^2 + 2\xi^* \omega_n^* p + \omega_n^{2*}}{K \alpha_1 p (\frac{\alpha_2}{\alpha_1} p + 1)}$ . Porovnáním  $F_R(p)$  a  $F_{PID}(p)$  jsme schopni odvodit vztahy pro parametry PID regulátoru.

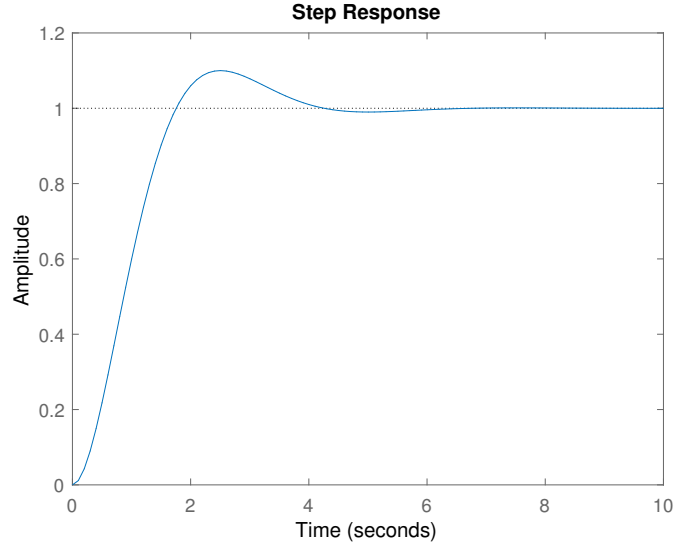
$$K_P = \frac{2\xi^* \omega_n^* \alpha_1 - \alpha_2 \omega_n^{2*}}{K \alpha_1^2} \quad (1)$$

$$K_I = \frac{\omega_n^{2*}}{K \alpha_1} \quad (2)$$

$$K_D = \frac{\alpha_1^2 - 2\xi^* \omega_n^* \alpha_1 \alpha_2 + \alpha_2^2 \omega_n^{2*}}{K \alpha_1^3} \quad (3)$$

$$\tau = \frac{\alpha_2}{\alpha_1} \quad (4)$$

Po dosazení všech známých parametrů získáváme hodnoty:  $K_P = 0.6888$ ,  $K_I = 3.1867$ ,  $K_D = 0.9418$  a  $\tau = 0.5436$ .



Obrázek 14: Přechodová charakteristika uzavřeného systému s vypočteným PID regulátorem

## 2.4 Návrh 2DoF regulátoru

Při identifikaci parametrů 2DoF regulátoru vycházíme z přenosu uzavřeného systému  $F_{CL} = \frac{\alpha t(p)b(p)}{a(p)c(p) + b(p)d(p)} = \frac{b_z}{a_z}$ . V zadání jsme dostali požadovaný tvar regulátoru, a to  $T(p) = \frac{2.44}{p^2 + 2.4p + 2.44} = \frac{b_z^*}{a_z^*}$ .

Při určování regulátoru nám pomůže znalost několika vztahů.

$$a_z^* = p^2 + 2.4p + 2.44 \quad (5)$$

$$F_2(p) \equiv \frac{d(p)}{c(p)} = \frac{d_1p + d_0}{p + c_0} \quad (6)$$

$$F_s(p) = \frac{b(p)}{a(p)} = \frac{1}{p^2 + 0.3p + 1} \quad (7)$$

$$F_1(p) \equiv \frac{\alpha t(p)}{d(p)} = \frac{\alpha(p + t_0)}{d_1p + d_0} \quad (8)$$

$$a_z = a_z^* \cdot t(p) \quad (9)$$

$$S(p) = \frac{a(p)c(p)}{a(p)c(p) + b(p)d(p)} \quad (10)$$

Pro následující výpočty uvažujme, že jmenovatel  $F_{CL}$  je roven  $a_z$ , tedy  $a(p)c(p) + b(p)d(p) = a_z$ .

### 2.4.1 Volba kompenzačního polynomu $t(p) = p + 0.2$

Dosadíme do posledního zmíněného vztahu.

$$a(p)c(p) + b(p)d(p) = a_z \quad (11)$$

$$a(p)c(p) + b(p)d(p) = a_z^* \cdot t(p) \quad (12)$$

$$(p^2 + 0.3p + 1)(p + c_0) + 1(d_1p + d_0) = (p^2 + 2.4p + 2.44)(p + 0.2) \quad (13)$$

$$p^3 + (0.3 + c_0)p^2 + (d_1 + 0.3c_0 + 1)p + (d_0 + c_0) = p^3 + 2.6p^2 + 2.92p + 0.488 \quad (14)$$

Řešením jsou následující rovnice.

$$c(p) = p + c_0 = p + 2.3 \quad (15)$$

$$d(p) = d_1 p + d_0 = 1.23p - 1.812 \quad (16)$$

Korekci statického zesílení  $\alpha$  dopočteme porovnáním čítelů funkce  $F_s(p)$  a  $T(p)$ :  $\alpha = \frac{2.44}{1}$ .

Po dosazení zpět do vztahu pro uzavřenou smyčku, získáme přenos k porovnání.

$$F_{CL} = \frac{2.44s + 0.488}{s^3 + 2.6s^2 + 2.92s + 0.488} \quad (17)$$

$$S(p) = \frac{s^3 + 2.6s^2 + 1.69s + 2.3}{s^3 + 2.6s^2 + 2.92s + 0.488} \quad (18)$$

#### 2.4.2 Volba kompenzačního polynomu $t(p) = p + 2$

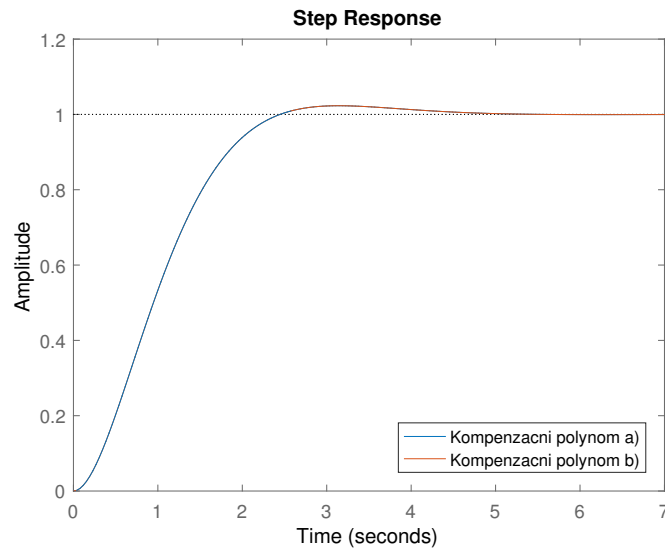
Postupujeme analogicky k předchozímu bodu. Výsledkem jsou následující vztahy.

$$c(p) = p + 4.1 \quad (19)$$

$$d(p) = 5.01p + 0.78 \quad (20)$$

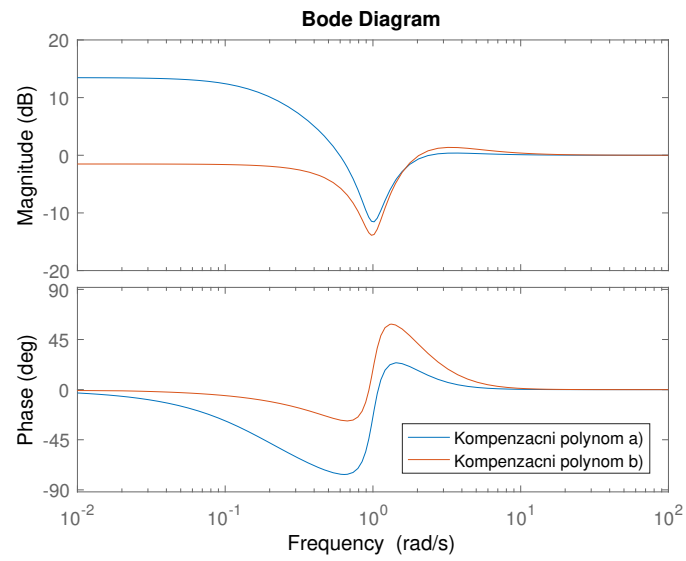
$$F_{CL} = \frac{2.44s + 4.88}{s^3 + 4.4s^2 + 7.24s + 4.88} \quad (21)$$

$$S(p) = \frac{s^3 + 4.4s^2 + 2.23s + 4.1}{s^3 + 4.4s^2 + 7.24s + 4.88} \quad (22)$$



Obrázek 15: Porovnání přechodových charakteristik





Obrázek 16: Porovnání citlivostních funkcí  $S(p)$

## 2.5 Stavový regulátor minimalizující kritérium ITAE

## Odkazy

- [1] Michael Šebek. *Póly, nuly a odezvy systému*. Pros. 2017. URL: [http://www.polyx.com/\\_ari/slajdy/Bas-ARI-03-Pole-zero-response.pdf](http://www.polyx.com/_ari/slajdy/Bas-ARI-03-Pole-zero-response.pdf).
- [2] Michael Šebek. *Studentův průvodce po automatickém řízení*. URL: [http://www.polyx.com/\\_ari/ruzne/Studentuv\\_pruvodce\\_systemy\\_a\\_rizenim\\_ARI\\_2012.pdf](http://www.polyx.com/_ari/ruzne/Studentuv_pruvodce_systemy_a_rizenim_ARI_2012.pdf).
- [3] Doc. Ing. Jiří Melichar, CSc. a Ing. Martin Gouběj, Ph.D. *Lineární systémy 1*. online. Sestavení stavového popisu systému: strana 11, linearizace nelineárních dynamických systémů: strana 13, Jordanova matice: strana 19, Frobeniova stavová reprezentace: strana 31, určování časových konstant: strana 35, statické zesílení: strana 56, Hurwitzovo algebraické kritérium stability: strana 83. 2017. URL: <https://courseware.zcu.cz/CoursewarePortlets2/DownloadDokumentu?id=138261>.
- [4] Ing. Miroslava Odstrčilíková. *Automatizace pro 3. ročník oboru slaboproudá elektrotechnika*. Sv. 2. Posouzení přechodové charakteristiky: strana 46. 2003. URL: [http://sps-se.kvalitne.cz/AT/AUT\\_3r\\_2cast.pdf](http://sps-se.kvalitne.cz/AT/AUT_3r_2cast.pdf).
- [5] Fakulta aplikované informatiky Univerzity Tomáše Bati ve Zlíně. *Popis systému s dopravním zpožděním*. URL: [rtp.webzdarma.cz/rizeni14.php](http://rtp.webzdarma.cz/rizeni14.php).